

文章编号:1006-9941(2021)01-0070-08

BNTF的合成、单晶结构和性能

王珀会¹,曾炼¹,谌思嘉¹,吴金婷¹,黄明²,李鸿波¹

(1. 西南科技大学材料科学与工程学院, 四川 绵阳 621010; 2. 中国工程物理研究院化工材料研究所, 四川 绵阳 621999)

摘要: 以3,4-双(3'-氨基呋咱基-4'-)氧化呋咱(BAFF)为原料,采用廉价易得且绿色环保的丙三醇为溶剂,经氯化亚锡还原合成关键中间体3,4-双(3'-氨基呋咱基-4'-)呋咱(BATF),后经过氧化氢氧化得到3,4-双(3'-硝基呋咱基-4'-)呋咱(BNTF),总收率为59.0%。采用¹H NMR、¹³C NMR、IR、MS和元素分析对BATF和BNTF进行表征,并成功获得BNTF单晶结构数据,BNTF晶体为正交晶系,属 $P2_12_12_1$ 空间群, $a=0.71437(10)$ nm, $b=0.96839(11)$ nm, $c=1.51555(17)$ nm, $V=1.0484(2)$ nm³, $Z=4$, $D_c=1.876$ g·cm⁻³, $F(000)=592$;优化BNTF合成工艺,考察投料比、反应时间及反应温度对BNTF产率的影响,获得的最佳工艺条件为 $n(\text{BATF}):n(35\%\text{H}_2\text{O}_2):n(98\%\text{H}_2\text{SO}_4):n(\text{Na}_2\text{WO}_4\cdot 2\text{H}_2\text{O})=1:60:40:0.86$,反应时间3 h,反应温度30 ℃,收率可达93.3%;采用DSC法和TG-DTG法测定BNTF的热稳定性,分别用Kissinger法、Rogers法和Arrhenis法计算BNTF热分解反应的表现活化能 $E_a(147.83$ kJ·mol⁻¹)、指前因子 $A(9.33\times 10^{15}$ min⁻¹)和分解速率常数 $k(2.18\times 10^{-44})$,计算了BNTF的热爆炸临界温度($T_0=201.36$ ℃);利用Kamlet-Jacobs方程估算得到BNTF的爆速(8.3 km·s⁻¹)、爆压(31.3 GPa);分别按照GJB772A-1997方法601.2和602.1测试BNTF特性落高($H_{50}=43.0$ cm)和摩擦感度(36.0%)。

关键词: 熔铸炸药;3,4-双(3'-硝基呋咱基-4'-)呋咱(BNTF);合成;单晶;热分解动力学;性能

中图分类号: TJ55; O64

文献标志码: A

DOI:10.11943/CJEM2020192

1 引言

熔铸炸药是当前广泛应用的一类军用混合炸药,约占军用混合炸药的80%以上,是真正意义的军事战略物资^[1-4]。现阶段熔铸炸药主要采用三硝基甲苯(TNT)和2,4-二硝基苯甲醚(DNAN)为载体,具有成本低、合成工艺简单等优势,但同时存在能量偏低、不可逆膨胀大、装药后易产生裂纹等问题,已经无法满足现代战争对弹药的高效毁伤和钝感化发展要求^[5-9]。苯类^[10-11]、唑类^[12-14]、呋咱类^[15-19]等化合物具有稳定性良好、熔点低、感度低、能量高等优点,有望作为新型理

想熔铸炸药载体。其中,呋咱类化合物由于具有较高的能量,互联后因共轭程度增加而趋于稳定,能更好协调能量和感度的矛盾,若在分子侧基结构及数量上进行优化配置,有效调节其熔点、热稳定、感度、相容性等理化性质,就有望突破熔铸炸药载体研发与应用的瓶颈,从而得到综合性能优异的呋咱类熔铸炸药载体^[20-22]。例如,3,4-二硝基呋咱基氧化呋咱(DNTF),熔点约为110 ℃,具有热稳定性好、密度高、爆轰感度高、临界直径小等优点^[23],但其熔点已接近熔铸炸药载体的熔点上限,会显著加大熔铸工艺的难度。由此,Philip Pagoria^[24]根据DNTF分子结构进行改进,合成出了新型低熔点呋咱化合物3,4-双(3'-硝基呋咱基-4'-)呋咱(BNTF),熔点约为85 ℃。BNTF不仅具备能量密度高、热稳定性好、感度低等优点,相较于DNTF其熔点更低,更具有替代TNT成为理想熔铸炸药载体的潜能。

3,4-双(3'-氨基呋咱基-4'-)呋咱(BATF)是合成BNTF的关键中间体,2013年贾思媛^[25]等人以强腐蚀性、强挥发性的浓盐酸、冰醋酸为溶剂,采用SnCl₂/HCl/AcOH还原体系合成BATF。大量使用强酸不仅

收稿日期:2020-07-20;修回日期:2020-08-21

网络出版日期:2020-11-12

基金项目:国家自然科学基金(22075260);中央军委装备发展部重大基础研究项目(14021001040305-5);爆炸科学与技术国家重点实验室开放基金(北京理工大学)(KFJJ20-03M)

作者简介:王珀会(1995-),女,硕士研究生,主要从事含能材料的合成。e-mail:1063969897@qq.com

通信联系人:李鸿波(1973-),男,教授,主要从事有机合成、含能材料领域的研究工作。e-mail:li-honggg@163.com

引用本文:王珀会,曾炼,谌思嘉,等. BNTF的合成、单晶结构和性能[J]. 含能材料, 2021, 29(1):70-77.

WANG Po-hui, ZENG Lian, SHEN Si-jia, et al. Synthesis, Crystal Structure and Performances of BNTF[J]. Chinese Journal of Energetic Materials(Hanneng Cailiao), 2021, 29(1):70-77.

不符合经济环保的原则,还会增加后续工艺放大过程中对生产设备的要求。在已有文献研究基础上^[26-27],本研究以3,4-双(3'-氨基咪唑基-4'-)氧化咪唑(BAFF)为原料,经还原反应合成BATF,再经氧化制得目标产物BNTF,对关键中间体BATF的合成工艺进行优化,以廉价易得且绿色环保的丙三醇溶解二水氯化亚锡,避免使用强腐蚀性的溶剂浓盐酸、冰醋酸。探讨了BNTF的合成机理,成功培养出BNTF单晶,实验考察了投料比、反应时间及反应温度对BNTF产率的影响。此外,由于近年来国内外有关BNTF性能研究的报道较少^[28-29],所以本课题组在预估其爆轰性能的同时详细研究了BNTF的热分解动力学,并测试其感度。

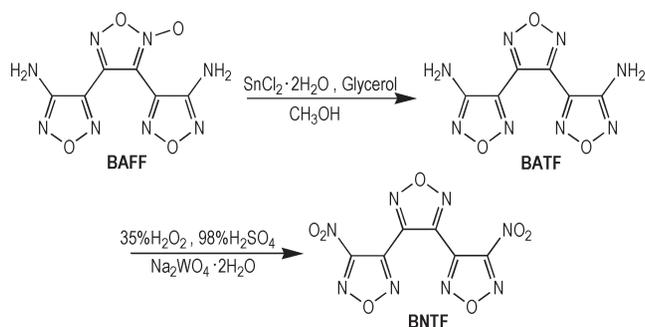
2 实验部分

2.1 试剂与仪器

无水甲醇、无水乙醇、丙三醇、二水氯化亚锡($\text{SnCl}_2 \cdot 2\text{H}_2\text{O}$)、二水钨酸钠($\text{Na}_2\text{WO}_4 \cdot 2\text{H}_2\text{O}$)、35%过氧化氢和98%浓硫酸,分析纯,成都科龙化工试剂厂;BAFF,实验室合成。Nicolet-5700红外吸收光谱仪,美国热电公司;Advance 600超导核磁共振波谱仪,瑞士Bruker公司;WRS2/2A微机熔点仪,上海申光仪器仪表有限公司;Varian HPLC-MS 325液相色谱质谱联用仪,美国Varian公司;Bruker smart Apex II X射线单晶衍射仪,德国Bruker公司;DSCQ2000差示扫描量热仪,美国TA仪器公司。

2.2 实验过程

以BAFF为原料,经 $\text{SnCl}_2 \cdot 2\text{H}_2\text{O}$ /丙三醇还原体系合成关键中间体BATF后,采用 $\text{H}_2\text{O}_2/\text{H}_2\text{SO}_4$ 氧化体系合成目标产物BNTF,合成路线见Scheme 1。



Scheme 1 Synthetic route of BNTF

2.2.1 BATF的合成

于室温下向三口瓶中加入10.0 g BAFF、100 mL无水甲醇,缓慢升温至75 °C,搅拌至溶解。将57.3 g二水氯化亚锡溶解于300 mL 40%的丙三醇后,缓慢滴入三

口瓶中,滴毕后75 °C反应5 h。停止反应,冷却至室温,有淡黄色固体析出,抽滤后冰水洗涤,真空干燥,得到固体BATF 5.9 g,收率为63.2%。熔点182.6 °C(文献值^[27]: 180.0~182.0 °C)。¹H NMR(DMSO- d_6 , 600 MHz) δ : 6.61(s, 4H, NH_2); ¹³C NMR(DMSO- d_6 , 150 MHz) δ : 156.22, 144.23, 136.23; FT-IR(KBr, ν/cm^{-1}): 3456(s), 3323(s), 1632(s), 1605(m), 1567(m), 1383(w); m/z (APCI): 234.8[$\text{C}_6\text{H}_3\text{N}_8\text{O}_3^+$]; Anal. calcd for $\text{C}_6\text{H}_4\text{N}_8\text{O}_3$: C 30.51, H 1.69, N 47.46; found C 30.57, H 1.65, N 47.40。

2.2.2 BNTF的合成

冰浴条件下,向三口瓶中加入12 g二水钨酸钠,并缓慢滴入85 mL 35%过氧化氢,溶液呈橙黄色。滴毕后再向三口瓶中缓慢滴加105 mL 98%浓硫酸,控制反应体系温度5 °C以下。反应2 h后分批次加入10 g BATF,冰浴条件下反应3 h,再升温至30 °C反应2 h。停止反应,冷至室温,有白色固体析出,抽滤后冰水洗涤,真空干燥得到白色固体BNTF 11.7 g,收率为93.3%。熔点86.3 °C(文献值^[28]: 82.6~83.9 °C)。¹³C NMR(DMSO- d_6 , 150 MHz) δ : 160.86, 142.64, 139.47; FT-IR(KBr, ν/cm^{-1}): 1533(m), 1349(m), 1612(m), 1573(s), 1466(w); m/z (APCI): 249.8[$\text{C}_6\text{N}_7\text{O}_5^+$], 203.8[$\text{C}_6\text{N}_6\text{O}_3^+$]; Anal. calcd for $\text{C}_6\text{N}_8\text{O}_7$: C 24.53, N 37.42; found C 24.32, N 37.83。

2.3 单晶的培养与结构测定

以乙醇为溶剂溶解适量精制样品BNTF,于室温下静置,待乙醇自然挥发后得淡黄色单晶(CCDC: 830077)。选取尺寸0.120 mm×0.110 mm×0.090 mm单晶,于CCD平面探测X射线单晶衍射仪上,利用石墨单色器单色化的 $\text{Mo-K}\alpha$ 射线($\lambda=0.071073$ nm)进行扫描,晶体结构的解析及优化由程序SHELXL97^[31]完成。在193(2) K温度下, $2.496^\circ \leq \theta \leq 28.266^\circ$, $-7 \leq h \leq 9$, $-12 \leq k \leq 12$, $-20 \leq l \leq 20$ 范围内,共收集衍射点10398个,其中独立衍射点2571个[$R(\text{int})=0.0312$]。整个计算工作由SHELXL程序计算求解,全部数据经全矩阵最小二乘法校正。

2.4 差示扫描量热分析

DSC、TG-DTG分析采用DSCQ2000功率补偿型差示扫描量热仪,氮气气氛,气氛流速为30 mL·min⁻¹,升温速率分别为5、10、15、20 °C·min⁻¹,参比样为 $\alpha\text{-Al}_2\text{O}_3$,加盖铝坩埚。

2.5 特征性能的估算与实测

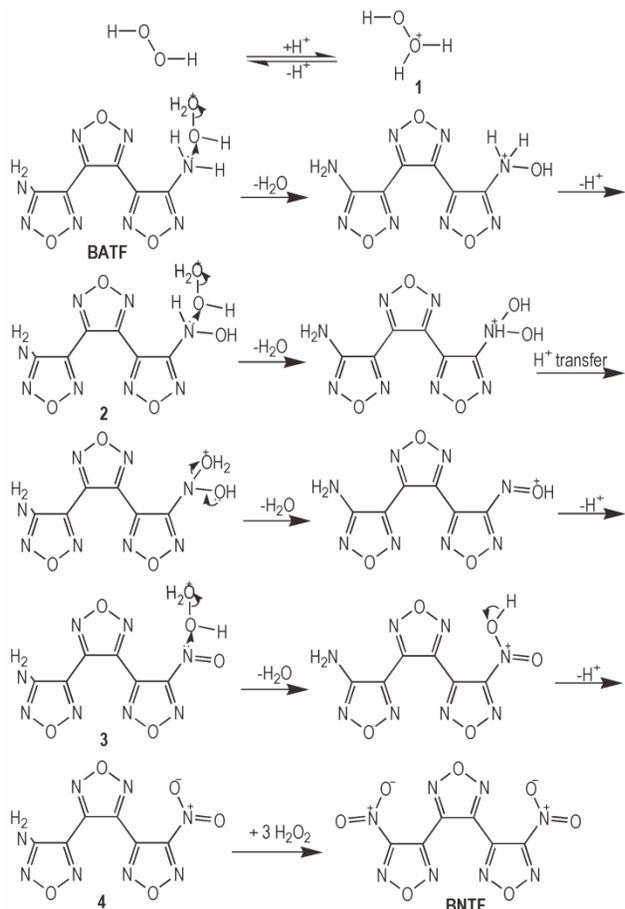
采用DFT-B3LYP方法,在6-31+G(2df, pH)基组

上对 BNTF 进行结构优化, 利用 Kamlet-Jacobs 方程预测 BNTF 的爆速和爆压, 并利用反应物与爆炸分解产物的生成热差值估算爆热。按照 GJB772A-1997 方法 601.2 测试 BNTF 的特性落高 H_{50} , 测试条件为 5 kg 落锤, 药量 (30 ± 0.5) mg, 试验温度 $20 \sim 35$ °C, 相对湿度 $\leq 80\%$ 。按照 GJB772A-1997 方法 602.1 测试 BNTF 的摩擦感度, 摆式摩擦仪摆角 90° , 表压为 3.9 MPa, 药量 (20 ± 0.5) mg。测试过程中, 出现发声、发光、分解、冒烟现象都视为发生爆炸。

3 结果与讨论

3.1 BNTF 的合成机理

BNTF 的合成机理如 Scheme 2 所示。在酸性溶液中, H_2O_2 与 H^+ 结合生成产物 1; 产物 1 与 BATF 分子内的氨基反应, 脱水、脱 H^+ 后得到产物 2; 产物 2 同产物 1 反应, 经脱水、 H^+ 迁移后, 再脱水、脱 H^+ 得到产物 3; 产物 3 继续与产物 1 反应, 脱水、脱 H^+ 后生成产物 4。产物 4 分子内的氨基氧化机理同上述, 在酸性条件下再与三分子的 H_2O_2 连续反应后生成目标产物 BNTF。



Scheme 2 Synthetic mechanism of BNTF

3.2 关键中间体 BATF 的合成

BATF 是合成 BNTF 的关键中间体, 文献一般以 BAFF 为原料, 经 $SnCl_2 \cdot 2H_2O$ 还原制得 BATF, 产率约 70% ^[27], 为抑制 $SnCl_2 \cdot 2H_2O$ 发生水解, 该反应采用了强腐蚀性的浓盐酸、冰醋酸为溶剂。本实验以 40% 的丙三醇为溶剂, 有效提高 $SnCl_2 \cdot 2H_2O$ 的反应稳定性, 虽然 BATF 产率稍低 (63.2%), 但丙三醇廉价易得、绿色环保, 避免了强腐蚀性、挥发性的浓盐酸、冰醋酸的使用, 降低了生产成本, 在合成工艺上优势明显。

3.3 BNTF 收率的影响因素

3.3.1 反应物摩尔比的影响

为保证 BATF 分子中的氨基尽可能氧化为硝基, 避免单硝基产物的生成, 需使 H_2O_2 和浓硫酸摩尔比大于 1, 从而确保氧化剂活性良好。在反应温度为 30 °C, 反应时间 3 h 的条件下, 实验考察了反应物摩尔比对 BNTF 收率的影响 (表 1)。由表 1 可知, 当摩尔比为 $n(\text{BATF}):n(35\%H_2O_2):n(98\%H_2SO_4):n(Na_2WO_4 \cdot 2H_2O) = 1:60:40:0.86$ 时, BNTF 收率最佳, 可达 90.2% 。

表 1 反应物摩尔比对 BNTF 收率的影响

Table 1 Effect of molar ratio on the yield of BNTF

$n(\text{BATF}):n(35\%H_2O_2):n(98\%H_2SO_4):n(Na_2WO_4 \cdot 2H_2O)$	yield/%
1:50:40:0.43	75.4
1:50:40:0.86	89.3
1:50:40:1.72	88.6
1:60:40:0.86	90.2
1:80:40:0.86	89.2

3.3.2 反应时间的影响

当反应物摩尔比 $n(\text{BATF}):n(35\%H_2O_2):n(98\%H_2SO_4):n(Na_2WO_4 \cdot 2H_2O) = 1:60:40:0.86$, 反应温度 30 °C 时, 反应时间对 BNTF 收率的影响见图 1。由图 1 可知, 在反应初期, 适当延长反应时间能有效提高 BNTF 收率, 3 h 后反应趋于完全, 收率达 90% 。

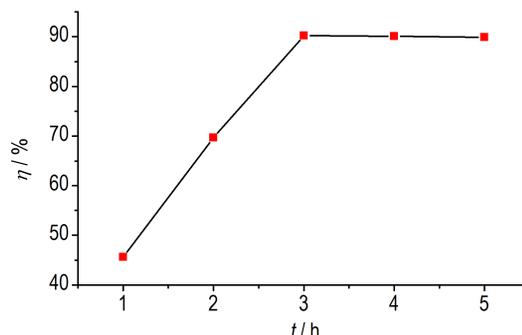


图 1 反应时间对 BNTF 收率的影响

Fig.1 Effect of reaction time on the yield of BNTF

3.3.3 反应温度的影响

在摩尔比 $n(\text{BATF}):n(35\%\text{H}_2\text{O}_2):n(98\%\text{H}_2\text{SO}_4):n(\text{Na}_2\text{WO}_4 \cdot 2\text{H}_2\text{O})=1:60:40:0.86$, 反应时间 3 h 的条件下, 考察反应温度对 BNTF 收率的影响, 实验结果如图 2 所示。由图 2 可知, 随着反应温度的增加, BNTF 收率先增加后减小, 30 °C 时达到最佳。这是由于反应温度较低时, 原料反应不完全, 产率较低。随着反应温度的升高, 有利于氨基被氧化为硝基, 产率有所提高, 但反应温度过高易造成副产物生成, BNTF 的产率呈下降趋势。

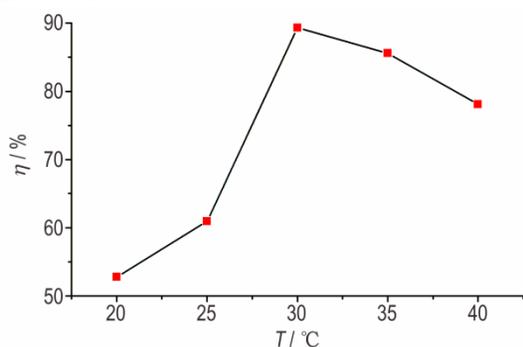


图 2 反应温度对 BNTF 收率的影响

Fig.2 Effect of temperature on the yield of BNTF

3.4 晶体结构分析

BNTF 的各项单晶体数据以及结构优化参数见表 2, 选择性键长、键角及扭转角见表 3, 分子结构以及分子在晶胞中的堆积, 分别示于图 3 和图 4。分析结果可知, C(1)—C(2)(0.142 nm)、C(3)—C(4)(0.142 nm) 和 C(5)—C(6)(0.142 nm) 键分别是 3 个呋喃环上的共轭 C—C 双键, C(2)—C(3)(0.146 nm) 和 C(4)—C(5)(0.146 nm) 键比普通的 C—C 单键(0.151 nm) 短, 说明 3 个呋喃环共轭形成大 π 键, 从而使得 BNTF 表现出较好的热稳定性(热分解温度 198.5 °C)。BNTF 分子中的 3 个呋喃环沿 C(1)—C(2)—C(3)—C(4)—C(5)—C(6) 形成明显的扭转角, 分别处于 3 个不同的平面, 在空间上形成椅式结构, 使分子堆积更加紧密, 晶体结构更加稳定。此外, BNTF 分子之间按层状排列, 通过范德华力相互作用, 层与层之间距离为 354 pm, 范德华作用力较强, 分子间高度有序地紧密堆积, 使得 BNTF 表现出较高密度(1.876 $\text{g}\cdot\text{cm}^{-3}$)。BNTF 同 DNTF 的晶胞堆积相似, 分析比较 BNTF 和 DNTF 单晶的重要键长、键角^[30], BNTF 的 C(3)—C(4)(0.142 nm) 键长相比 DNTF(0.140 nm) 增长, BNTF 的 C(1)—C(2)—C(3)(133.8°) 和 N(1)—C(1)—C(2)(130.5°) 键角相比 DNTF(132.3° 和 129.1°) 增大, 说明呋喃基团替代氧化呋喃基团后, 分子紧密堆积程度降低, 使得 BNTF 的

密度相比 DNTF(1.937 $\text{g}\cdot\text{cm}^{-3}$) 有所减小。

表 2 BNTF 的单晶数据及结构优化细节

Table 2 Crystal data and structure refinement details for BNTF

empirical formula	$\text{C}_6\text{N}_8\text{O}_7$
formula mass	296.14
temperature / K	193(2)
wavelength / nm	0.071073
crystal system	orthorhombic
space group	$P2_12_1$
a / nm	0.71437(10)
b / nm	0.96839(11)
c / nm	1.51555(17)
volume / nm^3	1.0484(2)
Z	4
$D_c / \text{g}\cdot\text{cm}^{-3}$	1.876
absorption coefficient / mm^{-1}	0.173
F(000)	592
V / mm^3	$0.120 \times 0.110 \times 0.090$
$\theta / (^\circ)$	2.85 to 28.23
index ranges	$-7 \leq h \leq 9, -12 \leq k \leq 12, -20 \leq l \leq 20$
reflections collected	10398
independent reflections	2571 [$R(\text{int})=0.0312$]
completeness to $\theta=25.24$	98.9 %
refinement method	full-matrix least-squares on F^2
goodness-of-fit on F^2	1.056
final R indices [$I > 2\sigma(I)$]	$R_1=0.0288, wR_2=0.0715$
R indices (all data)	$R_1=0.0327, wR_2=0.0748$

表 3 BNTF 的选择性键长、键角及扭转角

Table 3 Selected bond lengths, bond angles and torsion angles of BNTF

bond	length/nm	bond	angle/($^\circ$)
C(1)—C(2)	0.142(2)	N(1)—C(1)—C(2)	130.05(18)
C(3)—C(4)	0.142(2)	N(2)—C(1)—C(2)	110.6(17)
C(5)—C(6)	0.142(3)	C(1)—C(2)—C(3)	133.8(17)
C(2)—C(3)	0.146(2)	C(3)—N(4)—O(4)	105.3(16)
C(4)—C(5)	0.146(2)	C(3)—C(4)—C(5)	129.7(15)
C(1)—N(2)	0.129(3)	N(7)—O(5)—N(6)	111.7(14)
C(4)—N(5)	0.130(2)	N(4)—C(3)—C(4)	109.0(16)
N(5)—O(4)	0.138(2)	N(2)—C(1)—N(1)	119.2(18)
bond	torsion angle/($^\circ$)		
C(1)—C(2)—C(3)—N(3)	24.97(10)		
C(6)—C(5)—C(4)—N(5)	120.97(7)		
N(3)—C(2)—C(3)—N(4)	-154.98(6)		
N(6)—C(5)—C(4)—N(5)	-61.04(8)		
O(1)—N(1)—C(1)—C(2)	18.71(9)		
O(6)—N(8)—C(6)—C(5)	-14.85(9)		

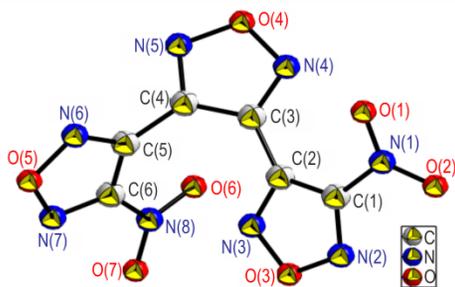


图3 BNTF的分子结构

Fig.3 Molecular structure of BNTF

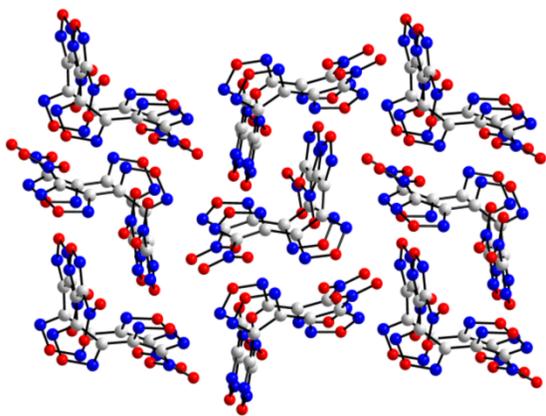


图4 BNTF的晶胞堆积

Fig.4 Crystal packing diagram of BNTF

3.5 热分解动力学

BNTF在5, 10, 15, 20 K·min⁻¹不同升温速率下的DSC曲线如图5所示。由图5可见, BNTF在5 K·min⁻¹的程序升温过程中呈现两个吸热峰和一个放热峰。86.9 °C处的尖锐吸热峰为试样熔化峰, 说明BNTF熔点较低, 满足理想熔铸炸药载体的基本要求。随着温度的逐渐升高, 从159.2 °C开始出现第二个吸热峰, 表明样品发生气化, 峰值为183.9 °C。在190.8 °C时, DSC曲线表现出放热趋势, BNTF在该温度下发生分解, 放热峰峰值为198.5 °C, 说明BNTF具有较好的热稳定性。

分析TG-DTG曲线可知(图6), BNTF在87.0 °C附近无质量损失, 为BNTF的融化过程。当温度升温至154.1 °C时开始出第一次质量损失, 质量变化最大时温度为177.0 °C(DTG峰值), 与DSC测试的气化吸热峰值相吻合, 188.6 °C时质量损失40%。当继续升温至193.2 °C时, 出现第二次质量损失, DTG峰值为203.8 °C, 与DSC测试的分解放热峰值相吻合, 升温至212.5 °C时BNTF分解完全, 质量再损失60%。

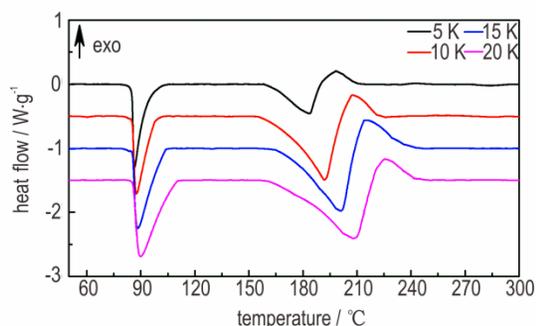


图5 BNTF的DSC曲线

Fig.5 DSC curves of BNTF

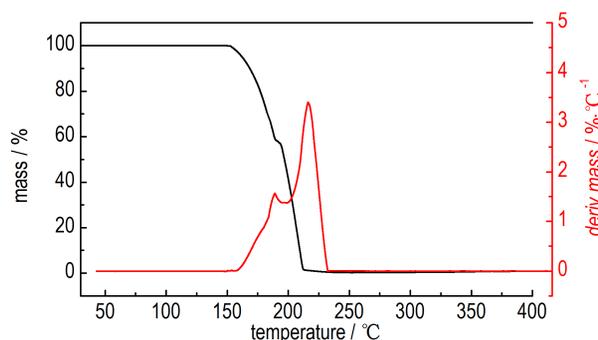


图6 BNTF的TG-DTG曲线

Fig.6 TG-DTG curves of BNTF

分析不同升温速率下的DSC曲线可知, BNTF的分解温度随着升温速率的升高而逐渐增大。根据不同升温速率(β)下试样分解温度(峰值温度 T_p), 将表5中DSC测试结果带入公式(1)^[32], 可推算加热速率趋于零时的峰值温度 T_{p0} (表4)。

$$T_{pi} = T_{p0} + b\beta_i + c\beta_i^2 + d\beta_i^3, i = 1, 2, \dots, N \quad (1)$$

式中, T_{pi} , 加热速率为 β_i 时试样的峰值温度, °C; T_{p0} , 加热速率趋于零时试样的峰值温度, °C; β_i , 试样的加热速率, °C·min⁻¹; b, c, d 为常数。计算得到的 $T_{p0} = 188.7$ °C。

利用Kissinger公式(2)^[33]、Rogers公式(3)^[28]和Arrhenis公式(4)^[32]计算热分解表观活化能 E_a 、指前因子 A 和分解速率常数 k 。将表观活化能 E_a 和升温速率

表4 不同升温速率下BNTF的 T_p 和 T_{p0} 计算值Table 4 T_p of BNTF at different heating rates and calculated value of T_{p0}

$\beta / ^\circ\text{C}\cdot\text{min}^{-1}$	$T_p / ^\circ\text{C}$	$T_{p0} / ^\circ\text{C}$
5.0	198.5	188.7
10.0	207.1	
15.0	215.4	
20.0	224.9	

Note: 1) β is heating rate.

趋近于0时的分解峰温 T_{p0} 代入公式(5)^[32],可计算出热爆炸临界温度 T_b , 计算结果见表5。

表5 BNTF的热分解动力学参数

Table 5 Thermal decomposition kinetic parameters of BNTF

$E_a / \text{kJ} \cdot \text{mol}^{-1}$	$\log(A/\text{min}^{-1})$	$k(25\text{ }^\circ\text{C})$	$T_b / \text{ }^\circ\text{C}$
147.83	15.97	2.18×10^{-44}	201.36

$$\ln\left(\frac{\beta_i}{T_{pi}^2}\right) = \ln\left(\frac{AR}{E_a}\right) - \frac{E_a}{RT_{pi}} \quad (2)$$

$$A = \frac{E_a}{RT_p^2} \exp\left(\frac{E_a}{RT_p}\right) \quad (3)$$

$$k = A \exp\left(-\frac{E_a}{RT}\right) \quad (4)$$

$$T_b = \frac{E_a - \sqrt{E_a^2 - 4RE_aT_{p0}}}{2R} \quad (5)$$

式中, T_{pi} 加热速率为 β_i 时试样的峰值温度, K; β_i 试样的升温速率, $\text{K} \cdot \text{min}^{-1}$; R 为气体常数, $8.314 \text{ J} \cdot \text{mol}^{-1} \cdot \text{K}^{-1}$; A 为指前因子, min^{-1} ; E_a 为表观活化能, $\text{J} \cdot \text{mol}^{-1}$; k 为在温度为 T 时, 分解速率常数, min^{-1} 。

3.6 BNTF的特征性能

对BNTF的爆轰性能进行估算(公式(6)、(7)、(8)), 预估其爆速为 $8.3 \text{ km} \cdot \text{s}^{-1}$, 爆压为 31.3 GPa , 爆热为 $6478.8 \text{ J} \cdot \text{g}^{-1}$ 。按照 GJB772A-1997 方法测试其撞击感度 $H_{50}=43.0 \text{ cm}$, 摩擦感度为 36.0% 。结果表明BNTF爆轰性能良好, 感度较低。

$$D = 1.01\left(N\bar{M}^{1/2}Q^{1/2}\right)^{1/2}\left(1 + 1.30\rho_0\right) \quad (6)$$

$$p = 1.558\rho^2N\bar{M}^{1/2}Q^{1/2} \quad (7)$$

$$Q = \left[28.9b + 94.05\left(\frac{c}{2} - \frac{b}{4}\right) + 0.239\Delta_r H\right]/M' \quad (8)$$

式中, D 为爆速, $\text{km} \cdot \text{s}^{-1}$; p 为爆压, GPa ; Q 为爆热, $\text{J} \cdot \text{g}^{-1}$; N 为每克炸药爆轰生成气体产物的摩尔数, $\text{mol} \cdot \text{g}^{-1}$; M' 为气体爆轰产物的平均分子量, $\text{g} \cdot \text{mol}^{-1}$; ρ_0 为炸药的装药密度, $\text{g} \cdot \text{cm}^{-3}$; b, c 为组成化合物 $\text{C}_a\text{H}_b\text{O}_c\text{N}_d$ 的不同种类元素的原子个数。

4 结论

(1) 以BAFF为原料, 采用廉价易得且绿色环保的丙三醇为溶剂, 还原合成BATF, 后经氧化制得BNTF, 总收率 59.0% 。BNTF最佳合成工艺条件为: $n(\text{BATF}):n(35\%\text{H}_2\text{O}_2):n(98\%\text{H}_2\text{SO}_4):n(\text{Na}_2\text{WO}_4 \cdot 2\text{H}_2\text{O})=$

$1:60:40:0.86$, 反应时间 3 h , 反应温度 $30\text{ }^\circ\text{C}$, BNTF收率 93.3% 。

(2) BNTF单晶的X射线单晶衍射结果表明: BNTF晶体为正交晶系, 属 $P2_12_12_1$ 空间群, $a=0.71437(10) \text{ nm}$, $b=0.96839(11) \text{ nm}$, $c=1.51555(17) \text{ nm}$, $V=1.0484(2) \text{ nm}^3$, $Z=4$, $D_c=1.876 \text{ g} \cdot \text{cm}^{-3}$, $F(000)=592$ 。BNTF分子内形成共轭体系, 空间上为椅式结构, 分子间按层状排列, 通过范德华力相互作用、紧密堆积, 使得BNTF表现出较好的热稳定性和较高密度。

(3) 采用DSC法和TG-DTG法测定BNTF热稳定性, BNTF熔点低, 易被蒸汽熔化, 分解温度较高, 热稳定性良好, 适于熔铸装药。利用公式计算获得BNTF的热分解反应动力学参数, $E_a=147.83 \text{ kJ} \cdot \text{mol}^{-1}$, $\log(A/\text{min}^{-1})=15.97$, $k(25\text{ }^\circ\text{C})=2.18 \times 10^{-44}$, $T_b=201.36\text{ }^\circ\text{C}$ 。

(4) BNTF的爆速、爆压和爆热估算值分别为 $8.3 \text{ km} \cdot \text{s}^{-1}$ 、 31.3 GPa 和 $6478.8 \text{ J} \cdot \text{g}^{-1}$, 摩擦感度实测值为 36.0% , 撞击感度实测值 $H_{50}=43.0 \text{ cm}$ 。BNTF爆轰性能良好, 感度较低, 有望成为新一代熔铸混合炸药中的液相载体炸药。

参考文献:

- [1] 杜闪, 赵家乐, 李永祥, 等. 熔铸炸药载体的研究进展及其性能比较[J]. 化工中间体, 2011, 7(6): 32-35.
DU Shan, ZHAO Jia-le, LI Yong-xiang, et al. Research progress and performance comparison of melt-cast explosive carriers[J]. *Chemical Intermediates*, 2011, 7(6): 32-35.
- [2] 谭彦威, 刘玉存, 杨宗伟, 等. 熔铸炸药的研究进展[J]. 山东化工, 2011, 40(5): 22-24.
TAN Yan-wei, LIU Yu-cun, YANG Zong-wei, et al. Research progress of melt-cast explosives[J]. *Shandong Chemical Industry*, 2011, 40(5): 22-24.
- [3] 曹端林, 李雅津, 杜耀, 等. 熔铸炸药载体的研究评述[J]. 含能材料, 2013, 21(2): 157-165.
CAO Duan-lin, LI Ya-jin, DU Yao, et al. Review on the research of melt-cast explosive carriers[J]. *Chinese Journal of Energetic Materials(Hanneng Cailiao)*, 2013, 21(2): 157-165.
- [4] Pasupala R, Dilip M B, Girish M G, et al. Review on melt cast explosives [J]. *Propellants, Explosives, Pyrotechnics*, 2011, 36(5): 393-403.
- [5] 牛国涛, 金大勇, 罗一鸣, 等. DNAN基熔铸炸药工艺特性[J]. 兵工自动化, 2014, 33(7): 86-88.
NIU Guo-tao, JIN Da-yong, LUO Yi-ming, et al. Technological characteristics of DNAN-based melt-cast explosives [J]. *Ordnance Industry Automation*, 2014, 33(7): 86-88.
- [6] 王浩, 高杰, 罗一鸣, 等. TNT、DNAN、TNAZ、DNTE不可逆膨胀特性[J]. 科学技术与工程, 2016, 16(32): 229-232.
WANG Hao, GAO Jie, LUO Yi-ming, et al. TNT, DNAN, TNAZ, DNTE irreversible expansion characteristics [J]. *Science Technology and Engineering*, 2016, 16(32): 229-232.
- [7] 王亲会. 熔铸混合炸药用载体炸药评述[J]. 火炸药学报, 2011,

- 34(5): 25-28.
WANG Qin-hui. Review of carrier explosives for fusion casting explosives[J]. *Chinese Journal of Explosives and Propellants*, 2011, 34(5): 25-28.
- [8] 牛国涛,郝竞,金大勇,等.老化对TNT基熔铸炸药性能的影响[J].火炸药学报,2016,25(3):48-52.
NIU Guot-ao, HAO Jing, JIN Da-yong, et al. Effect of aging on the performance of TNT-based melt-cast explosives[J]. *Chinese Journal of Explosives and Propellants*, 2016, 25(3): 48-52.
- [9] 郑保辉,王平胜,罗观,等.短切纤维对RDX/TNT熔铸炸药的力学改性[J].含能材料,2013,23(6):786-790.
ZHENG Bao-hui, WANG Ping-sheng, LUO Guan, et al. Mechanical modification of RDX/TNT melt-cast explosives by chopped fibers[J]. *Chinese Journal of Energetic Materials(Hanneng Cailiao)*, 2013, 21(6): 786-790.
- [10] 张学梅,董海山,夏云霞,等.3-氨基-2,4,6-三硝基苯甲醚的合成及性能[J].含能材料,2010,18(2):135-138.
ZHANG Xue-mei, DONG Hai-shan, XIA Yun-xia, et al. Synthesis and properties of 3-amino-2,4,6-trinitroanisole[J]. *Chinese Journal of Energetic Materials(Hanneng Cailiao)*, 2010, 18(2): 135-138.
- [11] 蒙君熨,周霖,金大勇,等.DNAN/HMX熔铸炸药的流变特性[J].含能材料,2018,26(8):677-685.
MENG Jun-jiong, ZHOU Lin, JIN Da-yong, et al. Rheological properties of DNAN/HMX melt-cast explosives[J]. *Chinese Journal of Energetic Materials(Hanneng Cailiao)*, 2018, 26(8): 677-685.
- [12] 冯璐璐.1-甲基-2,4,5-三硝基咪唑的合成技术[D].太原:中北大学,2015.
FENG Lu-lu. Synthesis technology of 1-methyl-2,4,5-trinitroimidazole[D]. Taiyuan: North University of China, 2015.
- [13] 闫涛,王建华,刘玉存,等.二唑类熔铸炸药载体的分子设计[J].含能材料,2016,24(2):202-208.
YAN Tao, WANG Jian-hua, LIU Yu-cun, et al. Molecular design of fused carrier of oxadiazole melt casting[J]. *Chinese Journal of Energetic Materials(Hanneng Cailiao)*, 2016, 24(2): 202-208.
- [14] 张艳芳.唑类高氮含能化合物的合成研究[D].南京:南京理工大学,2017.
ZHANG Yan-fang. Synthesis of azole high nitrogen energetic compounds[D]. Nanjing: Nanjing University of Science and Technology, 2017.
- [15] 王军,李金山.新型咪唑(氧化咪唑)类炸药的分子设计及爆炸参数的理论计算[J].中国工程物理研究院科技年报,2006,19(1):332-333.
WANG Jun, LI Jin-shan. Molecular design and theoretical calculation of explosive parameters for new furans (furfurans) explosives[J]. *Science and Technology Annual Report, Chinese Academy of Engineering Physics*, 2006, 19(1): 332-333.
- [16] 林智辉,高莉,李敏霞,等.几种咪唑类含能化合物的合成、热行为及理论爆轰性能预估[J].火炸药学报,2014,37(3):6-10.
LIN Zhi-hui, GAO Li, LI Min-xia, et al. Synthesis, thermal behavior and theoretical detonation performance prediction of several furans energetic compounds[J]. *Chinese Journal of Explosives and Propellants*, 2014, 37(3): 6-10.
- [17] 杜黎小松,刘玉存,程桂敏,等.异咪唑类熔铸炸药载体分子设计与性能研究[J].兵工学报,2018,39(1):46-56.
DULI Xiao-song, LIU Yu-cun, CHENG Gui-min, et al. Molecular design and performance study of the carrier of isofurazan melt-cast explosive[J]. *Acta Armamentarii*, 2018, 39(1): 46-56.
- [18] 蒋秋黎,王浩,罗一鸣,等.TNAZ/DNTF最低共熔物的熔铸性能[J].火工品,2014(3):42-45.
JIANG Qiu-li, WANG Hao, LUO Yi-ming, et al. Study on properties of melt-cast explosives of lowest eutectic mixture TNAZ/DNTF[J]. *Initiators and Pyrotechnics*, 2014(3): 42-45.
- [19] Shreeve J M, Liu Y, He C, et al. Tetrazolyl and dinitromethyl groups with 1,2,3-triazole lead to polyazole energetic materials[J]. *Dalton Transactions*, 2019, 48(10): 69-72.
- [20] Eric C, Eric J, Rosario C, et al. Safer and Convenient Synthesis of 3,4-Dicyanofuroxan[J]. *Organic Process Research and Development*, 2019, 23(6): 1275-1279.
- [21] 胡焕性,张志忠,赵风起,等.高能量密度材料3,4-二硝基咪唑基氧化呋唑性能及应用研究[J].兵工学报,2004,25(2):155-158.
HU Huan-xing, ZHANG Zhi-zhong, ZHAO Feng-qi, et al. Research on the performance and application of high energy density material 3,4-dinitrofurazanyl furoxan[J]. *Acta Armamentarii*, 2004, 25(2): 155-158.
- [22] Philip P, Maoxi Z, Ana R, et al. 3-(4-Amino-1,2,5-oxadiazol-3-yl)-4-(4-nitro-1,2,5-oxadiazol-3-yl)-1,2,5-oxadiazole[J]. *Molbank*, 2014, 8(24): 1-4.
- [23] Roman V T, Maija M K. Decomposition mechanisms and kinetics of novel energetic molecules BNFF-1 and ANFF-1 quantum-chemical modeling[J]. *Molecules*, 2013, 18(7): 8500-8517.
- [24] Kim T K, Choe J H, Lee B W, et al. Synthesis and characterization of BNFF analogues[J]. *Bulletin of the Korean Chemical Society*, 2012, 33(8): 2765-2769.
- [25] 贾思媛,张海昊,王伯周,等.3,4-双-(3'-氨基咪唑-4'-基)咪唑的合成与表征[J].含能材料,2013,21(3):289-293.
JIA Si-yuan, ZHANG Hai-hao, WANG Bo-zhou, et al. Synthesis and characterization of 3,4-bis-(3'-aminofuran-4'-yl)furan[J]. *Chinese Journal of Energetic Materials(Hanneng Cailiao)*, 2013, 21(3): 289-293.
- [26] 霍欢,王伯周,王锡杰,等.咪唑含能化合物的合成及其衍生物反应研究进展[J].化学推进剂与高分子材料,2013,11(3):15-23.
HUO Huan, WANG Bo-zhou, WANG Xi-jie, et al. Research progress in the synthesis of furan energetic compounds and their derivative reactions[J]. *Chemical Propellants and Polymeric Materials*, 2013, 11(3): 15-23.
- [27] 李春一,辛小娟,赵双军.磷酸测定试验中还原剂选择的探讨[J].中国实用医药,2011,6(9):260-261.
LI Chun-yi, XIN Xiao-juan, ZHAO Shuang-jun. Discussion on the selection of reducing agent in phosphoric acid determination test[J]. *Chinese Journal of Practical Medicine*, 2011, 6(9): 260-261.
- [28] Zhang Y, Zhou C, Wang B, et al. Synthesis and characteristics of bis(nitrofurazano)furazan (BNFF), an insensitive material with high energy-density[J]. *Propellants, Explosives, Pyrotechnics*, 2015, 39(6): 809-814.
- [29] Mondal S, Kumar J P, Rao E N, et al. Structure-property correlations of bis(nitrofurazano)furazan (BNFF-1): A density func-

- tional theory study [C]//DAE Solid State Physics Symposium. DAE, 2018, 85(1): 68-71.
- [30] 周彦水, 张志忠, 李建康, 等. 3,4-二硝基呋喃基氧化呋喃的晶体结构[J]. 火炸药学报, 2005, 28(2): 43-46.
- ZHOU Yan-shui, ZHANG Zhi-zhong, LI Jian-kang, et al. Crystal structure of 3,4-dinitrofuranyl oxyfurazan [J]. *Acta Explosives Sinica*, 2005, 28(2): 43-46.
- [31] Herbst R, Sheldrick G M. Refinement of twinned structures with SHELXL97 [J]. *Acta Crystallographica*, 2010, 54(4): 443-449.
- [32] Hu R, Yang Z, Ling Y. The determination of the most probable mechanism function and three kinetic parameters of exothermic decomposition reaction of energetic materials by a [J]. *Thermochimica Acta*, 1988, 123(10): 135-151.
- [33] Kissinger H E. Reaction kinetics in differential thermal analysis [J]. *Analytical Chemistry*, 1957, 29(11): 1702-1706.

Synthesis, Crystal Structure and Performances of BNTF

WANG Po-hui¹, ZENG Lian¹, SHEN Si-jia¹, WU Jin-fing¹, HUANG Ming², LI Hong-bo^{1*}

(1. School of Materials and Engineering, Southwest University of Science and Technology, Mianyang 621010, China; 2. Institute of Chemical Materials, CAEP, Mianyang 621999, China)

Abstract: 3,4-Bis(3'-aminofurazan-4'-yl) furazan (BATF) was synthesized by reduction with stannous chloride in glycerol using 3,4-bis(3'-aminofurazan-4'-yl) furoxan (BAFF) as raw material. 3,4-Bis(3'-nitrofurazan-4'-yl) furazan (BNTF) was prepared from BAFF by using hydrogen peroxide as oxidant with total yield of 59.0%. The structures of BATF and BNTF were characterized by ¹H NMR, ¹³C NMR, IR, MS spectra and elemental analysis, and the single crystal structure data of BNTF was obtained successfully. The crystal belongs to orthorhombic system, space group *P*2₁2₁2₁ with crystal parameters *a*=0.71437(10) nm, *b*=0.96839(11) nm, *c*=5.1555(17) nm, *V*=1.0484(2) nm³, *Z*=4, *D_c*=1.876 g·cm⁻³, *F*(000)=592. The influence of molar ratio, reaction time, and reaction temperature on the yield of BNTF was investigated. Results show that the optimum conditions are as follows: *n*(BATF):*n*(35% H₂O₂):*n*(98% H₂SO₄):*n*(Na₂WO₄·2H₂O)=1:60:40:0.86, the reaction time is 3 h, the reaction temperature is 30 °C and the yield of BNTF is 93.3%. The thermal stability of BNTF was determined by DSC and TG-DTG methods. Apparent activation energy *E_a*(147.83 kJ·mol⁻¹), pre-exponential factor *A* (9.33×10¹⁵ min⁻¹) and decomposition rate constant *k* (2.18×10⁻⁴⁴) of thermal decomposition reaction for BNTF were calculated by Kissinger method, Rogers method and Arrhenius method, respectively. The detonation velocity (8.3 km·s⁻¹) and detonation pressure (31.3 GPa) of BNTF were estimated by Kamlet-Jacobs equation. Characteristic drop height of impact sensitivity (*H₅₀*=43.0 cm) and friction sensitivity (36.0%) for BNTF were measured according to GJB772A-1997 methods 601.2 and 602.1, respectively.

Key words: melt cast explosive; 3,4-bis(3'-nitrofurazan-4'-yl) furazan (BNTF); synthesis; single crystal; thermal decomposition kinetics; performance

CLC number: TJ55; O64

Document code: A

DOI: 10.11943/CJEM2020192

(责编:王艳秀)